

Задание 1. Простая задача про простые механизмы.

1.1 Ворот.

Если конец веревки, к которой приложена сила, сместить на расстояние l , то груз поднимется на высоту h , которую можно найти из условия равенства углов поворота:

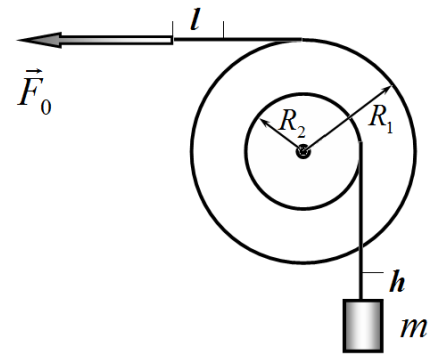
$$\frac{l}{R_1} = \frac{h}{R_2}. \quad (1)$$

В соответствии с «золотым правилом» выполняется условие

$$F_0 l = mgh. \quad (2)$$

Из этих выражений, следует, что масса поднимаемого груза равна

$$m = \frac{F_0}{g} \frac{R_1}{R_2}. \quad (3)$$



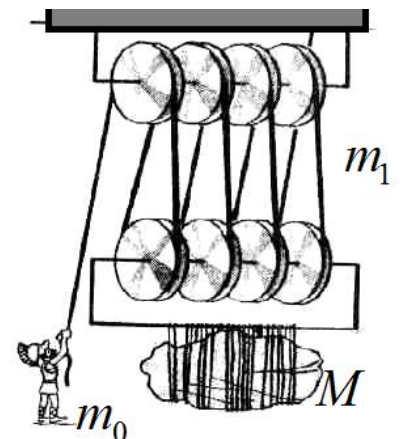
1.2 Полиспаст.

Если человек опустит конец веревки на величину l , то груз поднимется на высоту $h = \frac{l}{8}$. Так как максимальная сила, которую может приложить человек, равна $m_0 g$, то максимальный груз, который можно поднять, находится из «золотого правила механики»:

$$m_0 g l = \left(M + \frac{m_1}{2} \right) g h. \quad (1)$$

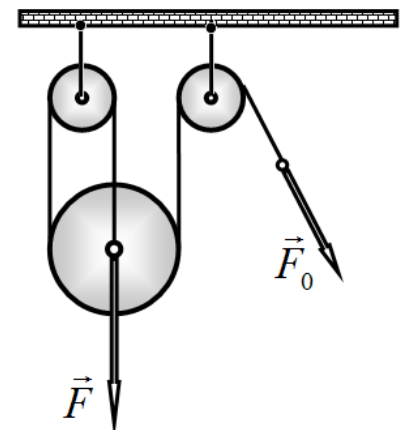
Откуда следует, что

$$M = 8m_0 - \frac{m_1}{2}. \quad (2)$$



1.3 Сделай сам.

Чтобы получить выигрыш в силе в три раза, подвижный блок необходимо подвесить на трех нитях. Например, так, как показано на рисунке.



1.4 Лебедка.

Допустим, рукоятку повернули на один оборот (при этом ее конец прошел расстояние равное $L = 2\pi l$), первая шестерня повернулась на угол $\varphi_1 = \frac{2\pi}{n_1}$. Вторая шестерня при этом

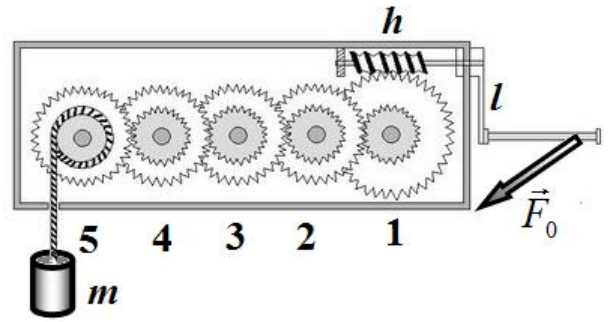
повернется на угол в 2 раза меньший (так как на меньшей шестеренке в два раза меньше зубьев), угол поворота каждой следующей также будет в два раза меньше предыдущей.

Следовательно, пятая шестерня повернется на угол $\varphi_5 = \frac{\varphi_1}{16}$, при этом груз поднимется на высоту

$$h = r\varphi_5 = r \frac{1}{16} \frac{2\pi}{n_1}. \quad (1)$$

Из «золотого правила механики» следует равенство

$$F_0 L = mgh \Rightarrow m = F_0 \frac{L}{gh} = F_0 \frac{2\pi l}{g \left(r \frac{1}{16} \frac{2\pi}{n_1} \right)} = 16n_1 \frac{l}{r} \frac{F_0}{g}. \quad (2)$$



Задание 2. Системы единиц.

Часть 1. Система СИ.

1.1 Паскаль.

1.1.1 Размерность единицы давления выражается цепочкой формул

$$[p] = \frac{[F]}{[S]} = \frac{H}{m^2} = \frac{кг \cdot м}{c^2 \cdot м^2} = \frac{кг}{c^2 \cdot м}. \quad (1)$$

1.1.2 По формуле для гидростатического давления $P = \rho gh$ получим:

$$1" дюйм" = 13,5 \cdot 10^3 \frac{кг}{м^3} \cdot 2,54 \cdot 10^{-2} м \cdot 9,81 \frac{м}{c^2} = 3,26 \cdot 10^3 Па \quad (2)$$

1.2 Джоуль

1.2.1 Единица энергии имеет размерность (из $A = Fl$)

$$Дж = H \cdot м = \frac{кг \cdot м}{c^2} \cdot м = \frac{кг \cdot м^2}{c^2}. \quad (3)$$

1.2.2 Работа в поле тяжести рассчитывается по формуле

$$A = mgh \quad (4)$$

Следовательно

$$1 \phi \cdot \phi = 450 \cdot 10^{-3} кг \cdot 9,81 \frac{м}{c^2} \cdot 30,5 \cdot 10^{-2} м = 1,35 Дж. \quad (5)$$

1.3 Ом

1.3.1 С помощью закона Ома и определения электрических величин получим

$$I = \frac{U}{R} \Rightarrow R = \frac{U}{I} = \frac{A \cdot \frac{1}{It}}{I}. \quad (6)$$

Поэтому размерность единицы сопротивления выражается через основные единицы СИ следующим образом

$$Ом = \frac{Дж}{A^2 \cdot c} = \frac{кг \cdot м^2}{c^2 \cdot A^2 \cdot c} = \frac{кг \cdot м^2}{c^3 \cdot A^2}. \quad (7)$$

1.3.2 Из формулы для сопротивления проводника

$$R = \rho \frac{l}{S} \quad (8)$$

Следует, что единица сопротивления Г.С. Ома в единицах системы СИ равна

$$1" см" = 0,0167 \frac{Ом \cdot 10^{-6} м^2}{м} \frac{1 \cdot 10^{-2} м}{10^{-6} м^2} = 1,67 \cdot 10^{-4} Ом. \quad (9)$$

Поэтому

$$1 Ом = \frac{1}{1,67 \cdot 10^{-4}} " см" = 6,00 \cdot 10^3 " см". \quad (10)$$

Вывод можно сформулировать следующим образом: один Ом равен 60 «медных метров».

Часть 2. Планковская система единиц.

Сначала определим размерности используемых фундаментальных констант.

Размерность скорости света очевидна:

$$[c] = \frac{M}{c}. \quad (11)$$

Размерность гравитационной постоянной следует из закона всемирного тяготения:

$$F = G \frac{m_1 m_2}{R^2} \Rightarrow [G] = \frac{[F] \cdot [R^2]}{[m^2]} = \frac{\kappa\mathcal{Z} \cdot M \cdot M^2}{c^2 \cdot \kappa\mathcal{Z}^2} = \frac{M^3}{c^2 \cdot \kappa\mathcal{Z}}. \quad (12)$$

Размерность постоянной Планка:

$$E = h\nu \Rightarrow [h] = \frac{[E]}{[\nu]} = \text{Дж} \cdot c = \frac{\kappa\mathcal{Z} \cdot M^2}{c^2} \cdot c = \frac{\kappa\mathcal{Z} \cdot M^2}{c}. \quad (13)$$

2.1 Запишем формулу для Планковской длины, используя неизвестные показатели степеней:

$$l_p = G^\alpha h^\beta c^\gamma \quad (14)$$

На основании которого получим уравнение размерностей:

$$M = \left(\frac{M^3}{c^2 \cdot \kappa\mathcal{Z}} \right)^\alpha \left(\frac{\kappa\mathcal{Z} \cdot M^2}{c} \right)^\beta \left(\frac{M}{c} \right)^\gamma. \quad (15)$$

Приравнявая показатели степеней одинаковых единиц, получим систему уравнений для неизвестных показателей

$$\begin{aligned} M: & 1 = 3\alpha + 2\beta + \gamma \\ c: & 0 = -2\alpha - \beta - \gamma \\ \kappa\mathcal{Z}: & 0 = -\alpha + \beta \end{aligned} \quad (16)$$

Решением этой системы являются числа:

$$\alpha = \frac{1}{2}; \quad \beta = \frac{1}{2}; \quad \gamma = -\frac{3}{2}. \quad (17)$$

Тогда формула для планковской длины имеет вид:

$$l_p = \sqrt{\frac{Gh}{c^3}}. \quad (18)$$

Подстановка значений дает:

$$l_p = \sqrt{\frac{Gh}{c^3}} = 4,05 \cdot 10^{-35} \text{ м}. \quad (19)$$

2.2 Формулу для планковского времени проще всего получить из очевидного выражения:

$$t_p = \frac{l_p}{c} = \sqrt{\frac{Gh}{c^5}}. \quad (20)$$

Его численное значение

$$t_p = \sqrt{\frac{Gh}{c^5}} = 1,35 \cdot 10^{-43} \text{ с}. \quad (21)$$

2.3 Для расчета планковской массы поступаем аналогично п. 2.1

$$m_p = G^\alpha h^\beta c^\gamma \quad (22)$$

$$kz = \left(\frac{M^3}{c^2 \cdot kz} \right)^\alpha \left(\frac{kz \cdot M^2}{c} \right)^\beta \left(\frac{M}{c} \right)^\gamma. \quad (23)$$

$$M: 0 = 3\alpha + 2\beta + \gamma$$

$$c: 0 = -2\alpha - \beta - \gamma \quad (24)$$

$$kz: 1 = -\alpha + \beta$$

$$\alpha = -\frac{1}{2}; \quad \beta = \frac{1}{2}; \quad \gamma = \frac{1}{2}. \quad (25)$$

Окончательно, формула для планковской массы имеет вид:

$$m_P = \sqrt{\frac{hc}{G}}. \quad (26)$$

Подстановка значений дает:

$$m_P = \sqrt{\frac{hc}{G}} = 5,46 \cdot 10^{-8} \text{ кг}. \quad (27)$$

Задание 3. Приключения Гулливера

1. Механика

Обозначим отношение

$$\lambda = \frac{l}{l_0}, \quad (1)$$

где l - рост либо лилипута (для него $\lambda = \frac{1}{n} = 0,10$), либо великана (для него $\lambda = 10$).

1.1 Масса тела пропорциональная его объему, поэтому

$$m = m_0 \lambda^3 \quad (2)$$

Масса лилипута:

$$m = \frac{m_0}{n^3} = 80 \text{ г} . \quad (3)$$

Масса великана:

$$m = m_0 n^3 = 80 \text{ Т} . \quad (4)$$

1.2 Перевозка Гулливера.

При движении телеги сила тяги лошадей преодолевает силу трения. Поэтому в обычных условиях, когда одна обычная лошадь тянет телегу с одним Гулливером, справедливо уравнение:

$$F_0 = \frac{\mu}{R_0} m_0 g \quad (5)$$

Если сила, развиваемая обычной лошадью равна F_0 , то сила «лилипутской» лошади равна $F_0 \lambda^2$ (так как она пропорциональна площади поперечного сечения мышц). Поэтому для N лилипутских лошадей выполняется:

$$NF_0 \lambda^2 = \frac{\mu}{\lambda R_0} m_0 g . \quad (6)$$

Из уравнений (5)-(6) следует, что

$$N = \frac{1}{\lambda^3} = n^3 = 1000 . \quad (7)$$

1.3 Прыжки в высоту.

Используем закон сохранения энергии (работа мышц равна изменению потенциальной энергии тела):

$$F_0 b_0 = m_0 g (b_0 + h_0) . \quad (8)$$

Аналогичное уравнение для лилипута (великана) имеет вид

$$(\lambda^2 F_0)(\lambda b_0) = \lambda^3 m_0 g (\lambda b_0 + h) . \quad (9)$$

Из этих уравнений следует:

$$(\lambda b_0 + h) = (b_0 + h_0) \Rightarrow h = h_0 + (1 - \lambda) b_0 . \quad (10)$$

Поэтому высота прыжка лилипута равна

$$h_1 = h_0 + (1 - \lambda)b_0 = (80 - 0,9 \cdot 50) \text{ см} = 35 \text{ см} . \quad (11)$$

Если мы применим формулу (10) для великана, то получим

$$h_2 = h_0 + (1 - \lambda)b_0 = (80 - 9 \cdot 50) \text{ см} = -3,7 \text{ м} . \quad (12)$$

Однако, этот ответ не верный! Из уравнения (8) следует, то сила ног Гулливера равна

$$F_0 = m_0 g \frac{(b_0 + h_0)}{b_0} \approx 2,6 m_0 g . \quad (13)$$

Тогда сила ног великана равна

$$F_2 = n^2 m_0 g \approx 260 m_0 g ,$$

А сила тяжести

$$m_2 g = n^3 m_0 g = 1000 m_0 g ,$$

что превышает силу ног. Поэтому великан не сможет поднять себя – он подпрыгнуть вообще не сможет!

3.2 Термодинамика.

Условие теплового баланса для Гулливера имеет вид:

$$w m_0 = \beta S_0 (t_0 - t_{air}) \quad (14)$$

где w - средняя мощность теплоты, выделяемой единицей массы тела, β - коэффициент теплоотдачи с единицы площади поверхности тела.

Запишем аналогичное уравнение для лилипута (великана):

$$w \lambda^3 m_0 = \beta \lambda^2 S_0 (t - t_{air}) \quad (15)$$

Из этих уравнений следует

$$t = t_{air} + \lambda (t_0 - t_{air}) \quad (16)$$

Численные значения температур:

Лилипута:

$$t \approx 22^\circ . \quad (17)$$

Великана:

$$t \approx 190^\circ . \quad (18)$$

Понятно, что в этих условия никто не выживет: лилипут замерзнет, великан перегреется!

3.4 Оптика

Так как в законы геометрической оптики входят только линейные величины (длины, расстояния, радиусы кривизны), то все они должны изменяться пропорционально друг другу. Поэтому расстояние наилучшего зрения будет равно 2,5 см для лилипута и 250 см для великана.

Задание 1. Легкая разминка.

Задача 1.1

Основная идея решения: центр масс системы движется равномерно и прямолинейно.

В момент времени $t = 0$:

радиус-вектор центра масс

$$\vec{R}_{C0} = \frac{m_2}{m_1 + m_2} \vec{r}_0; \quad (1)$$

Скорость центра масс

$$\vec{V}_C = \frac{m_1}{m_1 + m_2} \vec{V}_0. \quad (2)$$

Закон движения центра масс:

$$\vec{R}_C = \frac{m_2}{m_1 + m_2} \vec{r}_0 + \frac{m_1}{m_1 + m_2} \vec{V}_0 t; \quad (3)$$

Сравнивая с формулой для центра масс

$$\vec{R}_C = \frac{m_1 \vec{r}_1 + m_2 \vec{r}_2}{m_1 + m_2}, \quad (4)$$

Получаем уравнение

$$\frac{m_1 \vec{r}_1 + m_2 \vec{r}_2}{m_1 + m_2} = \frac{m_2}{m_1 + m_2} \vec{r}_0 + \frac{m_1}{m_1 + m_2} \vec{V}_0 t, \quad (5)$$

из которого находим

$$\vec{r}_2 = \vec{r}_0 + \frac{m_1}{m_2} \vec{V}_0 t - \frac{m_1 \vec{r}_1}{m_2}, \quad (6)$$

Задача 1.2 Тепловой подъемник

Кипение на первом этапе происходит при постоянном давлении, следовательно, при постоянной температуре. Аналогично, на третьем этапе конденсация происходит при постоянных давлении и температуре. Второй и четвертый этапы можно считать адиабатическими. Цикл паровой машины показан на рис. Так как этот цикл состоит из двух изотерм и двух адиабат, то этот цикл является циклом Карно. Поэтому его КПД рассчитывается по формуле

$$\eta = \frac{T_1 - T_2}{T_1}, \quad (1)$$

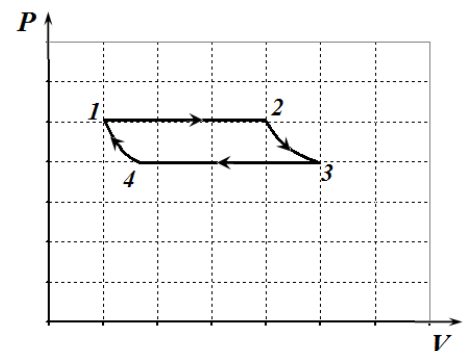
где T_1 - температура кипения на первом этапе, T_2 - температура конденсации на третьем этапе цикла.

Температуры могут быть найдены из приведенной в условии зависимости давления насыщенного пара от температуры

Первый этап цикла происходит при постоянном давлении

$$P_1 = P_0 + \frac{(M + m)g}{S} \approx 1,3 \cdot 10^5 \text{ Па} \quad (2)$$

Температура пара есть температура кипения и равна



$$t_1 = \frac{P_1 + b}{a} = \frac{130 + 384}{4,85} \approx 106^\circ\text{C} = 379\text{ K} . \quad (3)$$

Разность температур в формуле (1) удобно вычислить по формуле

$$T_1 - T_2 = \frac{P_1 - P_2}{a} = \frac{mg}{Sa} = \frac{20}{4,85} \approx 4,2\text{ K} . \quad (4)$$

Таким образом, КПД машины равен

$$\eta = \frac{T_1 - T_2}{T_1} = \frac{4,2}{379} = 1,1\% . \quad (5)$$

Задача 1.3 Кольцевой магнит

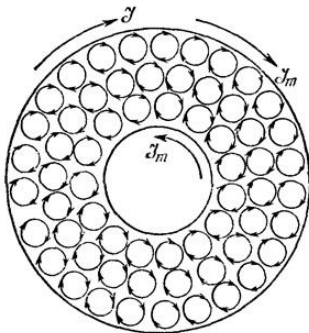
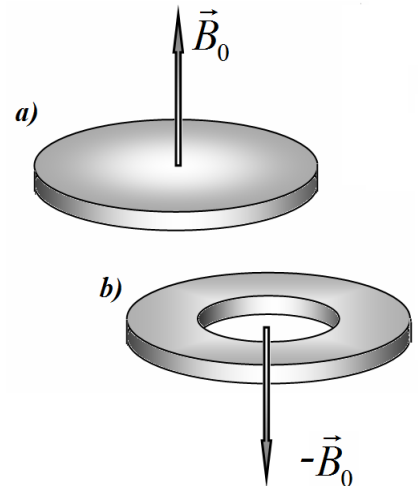
Поле постоянного магнита создается поверхностными токами намагничивания. В данном случае – круговым током. Индукция поля кругового тока определяется по формуле

$$B_0 = k \frac{I}{R} . \quad (1)$$

Из этой формулы следует, что индукция поля удаленного магнита (радиус которого в 2 раза меньше), в два раза больше, чем B_0 . Поэтому при удалении центральной части индукция поля станет равной

$$\vec{B}_0 = \vec{B}_1 + 2\vec{B}_0 \Rightarrow \vec{B}_1 = -\vec{B}_0 . \quad (2)$$

То есть модуль этой величины не изменился, но направление изменилось на противоположное!



Примечание. Этот же результат можно получить, рассматривая поле кольцевого магнита как суперпозицию полей двух круговых токов, текущих по внешней и внутренней поверхности кольца.

Задание 2. Оптический пинцет.

Часть 1. Продольная сила светового давления.

1.1 Импульс, который несет свет, падающий на пластинку, в единицу времени равен, равен импульсу, который получает пластинка. По второму закону Ньютона эта величина равна силе, действующей на пластинку. Поэтому

$$F = \frac{\Delta P}{\Delta t} = \frac{IS \cos \theta}{c} \quad (1)$$

Направление этой силы совпадает с направлением падающего света.

1.2 При полном отражении света, импульс, который получает пластинка равен удвоенной нормальной проекции импульса падающего света, поэтому в данном случае

$$F = 2 \frac{IS \cos \theta}{c} \cos \theta = 2 \frac{IS \cos^2 \theta}{c}. \quad (2)$$

В этом случае сила направлена по нормали к пластинке.

1.3 В данном случае изменение импульса падающего света связано с изменением направления распространения света вследствие преломления в линзе. Легко заметить, что проекция импульса на оптическую ось линзы после прохождения линзы увеличивается: все лучи становятся параллельными оптической оси, а модуль импульса каждого фотона не изменяется.

Следовательно, линза получает импульс, направленный в сторону источника света, так же направлена и сила давления света: линза притягивается к источнику!

Энергия, попадающая на линзу в единицу времени равна (см. рис.):

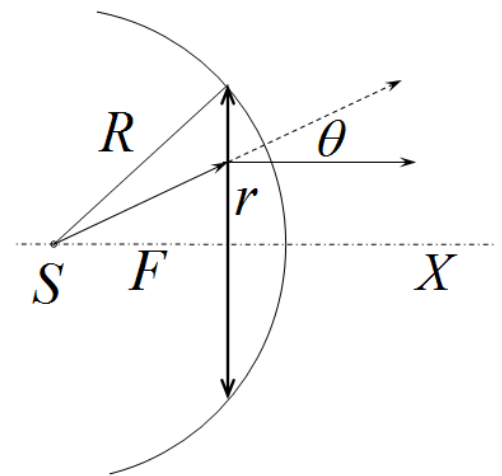
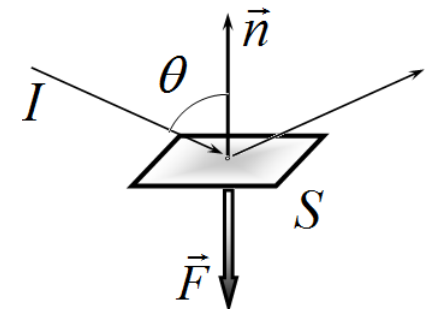
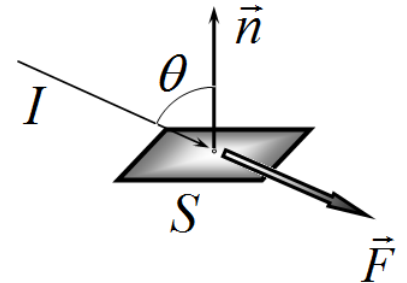
$$P_1 = \frac{W_0}{4\pi R^2} \cdot 2\pi R(R - F) = \frac{W_0}{2} \left(1 - \frac{F}{\sqrt{F^2 + r^2}} \right), \quad (3)$$

здесь $R = \sqrt{F^2 + r^2}$.

Следовательно, проекция на ось X импульса света, прошедшего через линзу в единицу времени равна:

$$p_1 = \frac{W_0}{2c} \left(1 - \frac{F}{\sqrt{F^2 + r^2}} \right), \quad (4)$$

До преломления в линзе световые лучи идут под разными углами к оптической оси. Выделим на волновом фронте малую площадку площади ΔS . Проекция на ось X импульса света (в единицу времени), в направлении этой площадки равна



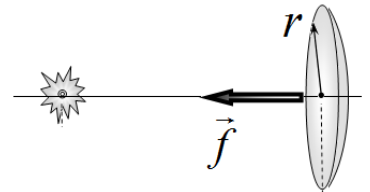
$$\Delta p_0 = \frac{W_0}{4\pi R^2 c} \Delta S \cos \theta = \frac{W_0}{4\pi R^2 c} \Delta S' , \quad (5)$$

Где $\Delta S'$ - площадь проекции площадки ΔS на плоскость, перпендикулярную оптической оси. Сумма всех $\Delta S'$ дает площадь линзы. Тогда, проекция импульса света на ось линзы равна

$$p_0 = \frac{W_0}{4\pi R^2 c} \cdot \pi r^2 = \frac{W_0}{4c} \frac{r^2}{F^2 + r^2} . \quad (6)$$

Окончательно, получаем, что модуль силы, действующей на линзу, равен

$$f = p_1 - p_0 = \frac{W_0}{4c} \left(1 - \frac{F}{\sqrt{F^2 + r^2}} \right)^2 . \quad (7)$$



Часть 2. Поперечная сила светового давления.

2.1 В данном случае сила возникает также благодаря изменению направления распространения света.

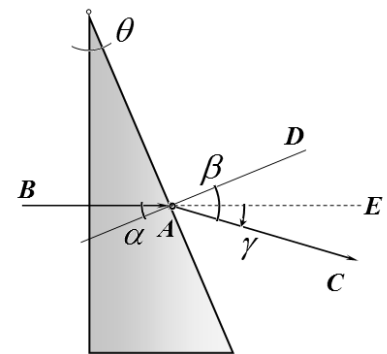
Угол отклонения луча γ после преломления в призме можно найти на основании закона преломления света и простых геометрических построений (см. рис.):

- угол падения на заднюю грань призмы: $\alpha = \theta$;
- угол преломления:

$$n \sin \theta = \sin \beta \Rightarrow \beta \approx n\theta ;$$

- угол отклонения:

$$\gamma = \beta - \theta = (n - 1)\theta . \quad (8)$$



2.1 Пучок света, попадающий на бипризму в тонком слое толщиной Δz за единицу времени переносит импульс

$$\Delta p_0 = \frac{I(z)b\Delta z}{c} \quad (9)$$

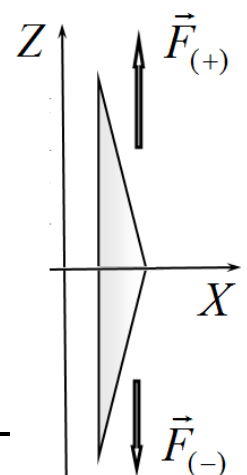
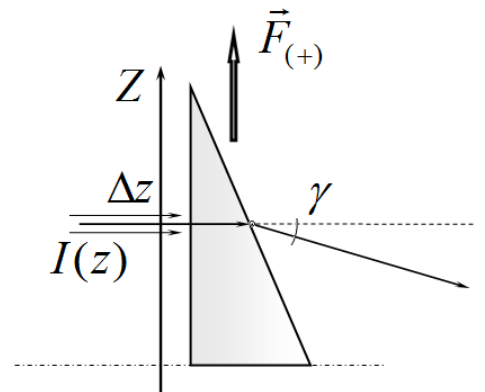
После преломления в призме вектор импульса будет направлен под углом γ . Так проекция импульса системы (свет плюс призма) на ось Z остается равным нулю, то призма получает импульс, направленный в положительном направлении оси, равный

$$\Delta p_z = \frac{I(z)b\Delta z}{c} \sin \gamma \approx \frac{I(z)b\Delta z}{c} \gamma \quad (9)$$

При суммировании этих импульсов по верхней части бипризмы можно использовать среднее значение интенсивности (т.к. последняя изменяется по линейному закону). Поэтому поперечная сила, действующая на призму равна

$$F_{(+)} = \frac{I\left(\frac{a}{2}\right)ba}{c} \gamma = \frac{I\left(\frac{a}{2}\right)ba}{c} (n - 1)\theta \quad (10)$$

Аналогично, сила, действующая на нижнюю часть бипризмы, равна



$$F_{(-)} = \frac{I\left(-\frac{a}{2}\right)ba}{c}(n-1)\theta \quad (11)$$

Суммарная поперечная сила равна

$$F = F_{(+)} - F_{(-)} = \frac{ba}{c}(n-1)\theta\left(I\left(\frac{a}{2}\right) - I\left(-\frac{a}{2}\right)\right) = g\frac{ba^2}{c}(n-1)\theta \quad (12)$$

и направлена в сторону увеличения интенсивности падающего света. Отметим, что полученное выражение можно представить в виде

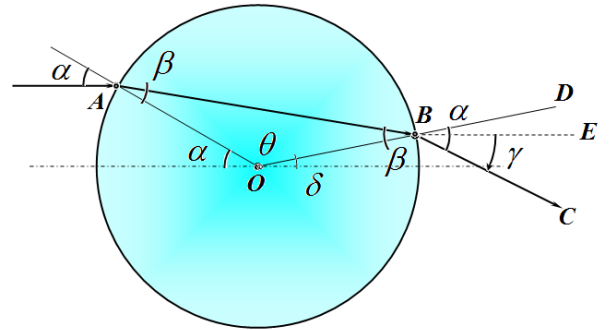
$$F = g\frac{ba^2\theta}{c}(n-1)\theta = (n-1)V\frac{1}{c}\frac{\Delta I}{\Delta z}, \quad (13)$$

здесь $ba^2\theta = 2\left(\frac{1}{2}ab(a\theta)\right) = V$ - объем бипризмы.

2.2.1 На рисунке показан ход луча через призму.

С помощью рисунка и закона преломления света (в приближении малых углов) находим угол отклонения луча:

$$\begin{aligned} \gamma &= \alpha - \delta = \alpha - (\pi - \alpha - \theta) = \\ &= \alpha - (\pi - \alpha - (\pi - 2\beta)) = 2(\alpha - \beta); \\ \sin \alpha &= n \sin \beta \Rightarrow \beta = \frac{\alpha}{n}; \\ \gamma &= 2(\alpha - \beta) = 2\frac{n-1}{n}\alpha. \end{aligned} \quad (14)$$



2.2.2 Пучок света толщиной dz , падающий на боковую поверхность диска на расстоянии z от оси X , сообщает диску в единицу времени импульс, равный

$$dp_z = \frac{I(z)hdz}{c} \sin \gamma. \quad (15)$$

Для расчета суммарного импульса (и равной ему поперечной силы) это выражение следует проинтегрировать, с учетом соотношений

$$\sin \gamma \approx \gamma = 2\frac{n-1}{n}\alpha = 2\frac{n-1}{n}\frac{z}{R}. \quad (16)$$

В результате интегрирования получим

$$F_z = \int_{-R}^{+R} \frac{I(z)h}{c} \sin \gamma dz \approx \int_{-R}^{+R} \frac{(I_0 + gz)h}{c} 2\frac{n-1}{n}\frac{z}{R} dz = \frac{4}{3}\frac{n-1}{n}hR^2\frac{g}{c} \quad (17)$$

Отметим, что и эту формулу можно представить в виде

$$F_z = \frac{4}{3\pi}\frac{n-1}{n}(\pi R^2 h)\frac{g}{c} = \beta\frac{n-1}{n}V\frac{1}{c}\frac{dI}{dz} \quad (18)$$

Эта сила направлена в сторону увеличения интенсивности света.

2.3.1 Для расчета импульса, передаваемого шару, рассмотрим плоскость перпендикулярную направлению падения света. На площадку площадью $dS = r dr d\varphi$ падает свет, имеющий импульс

$$dp_0 = \frac{I(z)dS}{c}.$$

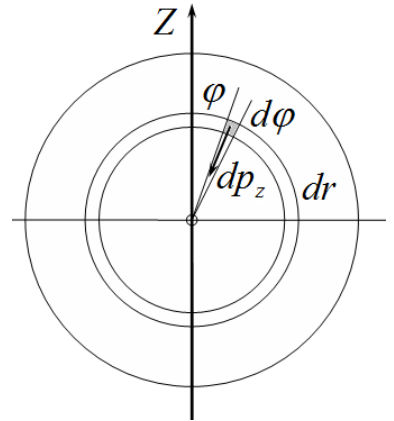
После преломления в шарике проекция этого импульса на ось Z будет равен

$$dp_z = -dp_0 \sin \gamma \cos \varphi. \quad (19)$$

Противоположно направленный импульс получит шарик. Суммарный импульс шарика можно получить, если проинтегрировать это выражение. Учтем, что

$$\sin \gamma \approx \gamma = 2 \frac{n-1}{n} \frac{r}{R};$$

$$z = r \cos \varphi$$



Поперечная сила равна

$$F_z = \int_0^{2\pi} d\varphi \int_0^R \frac{I_0 + gr \cos \varphi}{c} \cdot 2 \frac{n-1}{n} \frac{r}{R} \cos \varphi \cdot r dr = 2\pi \frac{n-1}{n} \frac{R^3}{4} \frac{g}{c} = \frac{3}{8} \frac{n-1}{n} \frac{4\pi R^3}{3} \frac{g}{c} = \frac{3}{8} \frac{n-1}{n} V \frac{1}{c} \frac{dI}{dz}. \quad (20)$$

Таким образом,

$$\beta = \frac{3}{8}. \quad (21)$$

Часть 3. Перемещение с помощью оптического пинцета.

3.1 Градиент интенсивности в пучке равен

$$g = \frac{dI}{dr} = -\frac{P}{\pi a^2} \frac{2r}{a^2} \exp\left(-\frac{r^2}{a^2}\right). \quad (22)$$

Найдем его максимальное значение. Для этого вычислим производную найденной функции и приравняем ее к нулю

$$\left(r \exp\left(-\frac{r^2}{a^2}\right) \right)' = \exp\left(-\frac{r^2}{a^2}\right) - 2 \frac{r^2}{a^2} \exp\left(-\frac{r^2}{a^2}\right) = 0. \quad (23)$$

Следовательно, градиент интенсивности принимает максимальное значение при

$$r = \frac{a}{\sqrt{2}} \quad (24)$$

На этом расстоянии от оси должен находиться шарик, чтобы двигаться с максимальной скоростью.

Максимальное значение градиента равно

$$|g_{\max}| = \frac{\sqrt{2}P}{\pi a^3} \exp\left(-\frac{1}{2}\right). \quad (25)$$

3.1 Из равенства поперечной силы светового давления и силы вязкого трения

$$\frac{3}{8} \frac{n-1}{n} V \frac{1}{c} g_{\max} = 6\pi\eta Rv \quad (26)$$

Находим максимально возможную скорость перемещения шарика:

$$v_{\max} = \frac{1}{12} \frac{n-1}{n} \frac{R^2}{\eta c} g_{\max} = \frac{\sqrt{2}}{12e^{0,5}} \frac{n-1}{n} \frac{R^2}{\eta c} \frac{P}{\pi a^3}. \quad (27)$$

Подстановка численных значений (с учетом $n = \frac{1,5}{1,33} = 1,13$) дает окончательный результат

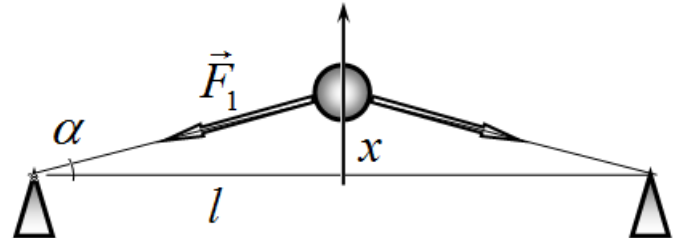
$$v_{\max} \approx 9,8 \frac{\text{МКМ}}{c}. \quad (28)$$

Задание 3. Молекулярный вибратор, управляемый электрическим полем.

Часть 1. Силы упругости.

1.1 Суммарная сила упругости равна

$$F = 4F_1 \sin \alpha = 4k(\sqrt{l^2 + x^2} - l) \frac{x}{\sqrt{l^2 + x^2}}. \quad (1)$$



1.2 При $x \ll l$ преобразуем к виду

$$F = 4k(\sqrt{l^2 + x^2} - l) \frac{x}{\sqrt{l^2 + x^2}} = 4kl \left(\sqrt{1 + \frac{x^2}{l^2}} - 1 \right) \frac{x}{\sqrt{l^2 + x^2}} \approx \approx 4kl \cdot \frac{x^2}{2l^2} \cdot \frac{x}{\sqrt{l^2 + x^2}} \approx \frac{2k}{l^2} x^3. \quad (2)$$

1.3 Так как возвращающая сила не пропорциональна смещению, то колебания не будут гармоническими.

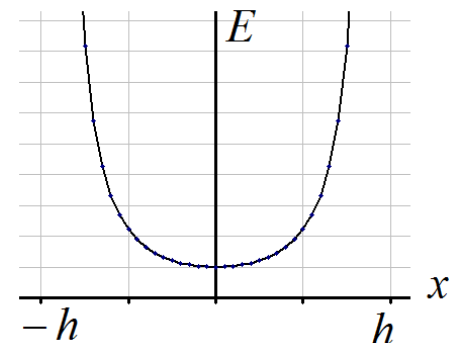
Отметим, что выражение для силы упругости имеет 3 порядок малости, поэтому и электрические силы следует рассчитывать до 3 порядка малости.

Часть 2. Электрическое поле и электрические силы.

2.1 Напряженность электрического поля находим с помощью закона Кулона

$$E(x) = \frac{q}{4\pi\epsilon_0} \left(\frac{1}{(h-x)^2} + \frac{1}{(h+x)^2} \right) = \frac{q}{2\pi\epsilon_0} \frac{h^2 + x^2}{(h^2 - x^2)^2}. \quad (3)$$

Схематический график этой зависимости показан на рисунке.



2.2 Так как электрическая сила зависит от производной этой функции, то нужно проводить разложение до 4 порядка малости ($z = \frac{x}{h}$):

$$E(z) = \frac{q}{2\pi\epsilon_0 h^2} \frac{1+z^2}{(1-z^2)^2} \approx \frac{q}{2\pi\epsilon_0 h^2} (1+z^2)(1+2z^2+3z^4) \approx \frac{q}{2\pi\epsilon_0 h^2} (1+3z^2+5z^4) \quad (4)$$

Напряженность в начале координат

$$E_0 = \frac{q}{2\pi\epsilon_0 h^2}. \quad (5)$$

2.3 Зависимость электрической силы от координаты описывается формулой (с точностью до 3 порядка малости)

$$G(x) = p \frac{dE}{dx} = \alpha \varepsilon_0 E \frac{dE}{dx} = \frac{\alpha \varepsilon_0}{h} E \frac{dE}{dz} =$$

$$= \frac{\alpha \varepsilon_0}{h} E_0^2 (1 + 3z^2 + 5z^4) (6z + 20z^3) = \frac{\alpha \varepsilon_0}{h} E_0^2 (6z + 38z^3) \quad (6)$$

2.4 Перепишем эту формулу в необходимом виде

$$G(x) = \frac{\alpha \varepsilon_0}{h} E_0^2 (6z + 38z^3) = 44 \frac{\alpha \varepsilon_0}{h} E_0^2 \left(\frac{6}{44} z + \frac{38}{44} z^3 \right) \quad (7)$$

Поэтому

$$G_1 = 44 \frac{\alpha \varepsilon_0}{h} E_0^2; \quad b_1 = \frac{3}{22}; \quad b_3 = \frac{19}{22}. \quad (8)$$

Часть 3. Колебания шарика.

3.1 Перепишем формулу (2) в виде

$$F = \frac{2k}{l^2} x^3 = \frac{2kh^3}{l^2} z^3. \quad (9)$$

Следовательно,

$$F_1 = \frac{2kh^3}{l^2}. \quad (10)$$

3.2 Уравнение равновесия имеет вид:

$$G_1 \left(\frac{3}{22} z + \frac{19}{22} z^3 \right) = F_1 z^3 \quad (11)$$

Из этого уравнения следует, что координата точки равновесия равна

$$z_0 = \pm \sqrt{\frac{3G_1}{22F_1 - 19G_1}}. \quad (12)$$

Отметим, что положения равновесия $z = 0$ является неустойчивым.

3.3 Положения равновесия (12) существуют при $22F_1 - 19G_1 > 0$.

Или

$$G_1 < \frac{22F_1}{19} \Rightarrow 44 \frac{\alpha \varepsilon_0}{h} E_0^2 < \frac{22}{19} \frac{2kh^3}{l^2} \Rightarrow E_0 < \sqrt{\frac{kh^4}{19\alpha \varepsilon_0 l^2}}. \quad (13)$$

3.4 Для определения частоты малых колебаний представим координату z в виде $z = z_0 + \delta$ (где $\delta \ll z_0$). Тогда уравнение движения шарика будет иметь вид

$$m\ddot{x} = mh\ddot{z} = G(z_0 + \delta) - F(z_0 + \delta). \quad (14)$$

В этом уравнении следует провести разложение до первого порядка малости величины δ :

$$G(z) = \frac{G_1}{22} (3(z_0 + \delta) + 19(z_0 + \delta)^3) = \frac{G_1}{22} (3z_0 + 19z_0^3) + \frac{1}{22} G_1 (3 + 57z_0^2) \delta$$

$$F(z) = \frac{2k}{l^2} x^3 = F_1 (z_0 + \delta)^3 \approx F_1 z_0^3 + 3F_1 z_0^2 \delta$$

Тогда уравнение (14) становится уравнением гармонических колебаний:

$$mh \ddot{\delta} = \frac{G_1}{22} (3z_0 + 17z_0^3) + \frac{1}{22} G_1 (3 + 57z_0^2) \delta - F_1 z_0^3 - 3F_1 z_0^2 \delta \Rightarrow$$

$$\ddot{\delta} = - \frac{3F_1 z_0^2 - \frac{1}{22} G_1 (3 + 57z_0^2)}{mh} \delta \quad (15)$$

Частота, которых равна

$$\nu = \frac{1}{2\pi} \sqrt{\frac{3F_1 z_0^2 - \frac{1}{22} G_1 (3 + 57z_0^2)}{mh}} \quad (16)$$